

## مقاله علمی-پژوهشی

# بررسی وضعیت آبخوان مشهد-چناران از نظر کیفی و آسیب‌پذیری با استفاده از دراستیک و شاخص کیفیت آب

سید محمد علوی‌زاده<sup>۱</sup>، حسین بانژاد<sup>۲\*</sup>، علی اصغر بهشتی<sup>۳</sup>

تاریخ دریافت: ۱۴۰۳/۱۱/۱۴ تاریخ پذیرش: ۱۴۰۳/۰۹/۲۷

## چکیده

در بررسی کیفی آبخوان، شناسایی مناطقی با کیفیت آب پایین‌تر و همچنین مناطق آسیب‌پذیر، به منظور تدوین برنامه‌های بهینه برای حفاظت از منابع آب زیرزمینی و کنترل فعالیت‌های انسانی در این مناطق، گامی اساسی محسوب می‌شود. در این پژوهش، وضعیت کیفی و آسیب‌پذیری آبخوان مشهد-چناران با استفاده از مدل دراستیک (DRASTIC) و شاخص کیفیت آب زیرزمینی (GWQI) مورد بررسی قرار گرفته است. داده‌های کیفی مربوط به ۳۵ چاه در سال ۱۴۰۰ و ۱۲۲۳ چاه در سال ۱۳۸۰ تحلیل شدند. مدل دراستیک شامل وزن‌دهی و رتبه‌دهی هفت متغیر عمق آبخوان، تعذیب خالص، محیط ناحیه اشیاع، محیط خاک، شب توبوگرافی، تأثیر ناحیه غیراشیاع و هدایت هیدرولیکی می‌باشد. با اضافه کردن کاربری اراضی، مدل دراستیک ترکیبی نیز بررسی شد. مطابق نتایج، در بخش‌های مرکزی شهر مشهد و شمال این شهر کلاس آسیب‌پذیری خیلی زیاد دیده می‌شود که حدود ۱۵ درصد از مساحت محدوده بوده و محل استقرار شهرک‌های صنعتی می‌باشد. در هر دو مدل کلاس آسیب‌پذیری زیاد بیشترین مساحت را در محدوده مطالعاتی با حدود ۷۰ درصد دارد. مطابق شاخص کیفیت آب زیرزمینی، کیفیت آب در سال ۱۴۰۰ نسبت به سال ۱۳۸۰ گافته و بیشتر نمونه‌ها در رسته ضعیف برای مصارف شرب قرار گرفته‌اند. جنوب محدوده مطالعاتی (خروجی آبخوان) و بخش شمالی از کیفیت آب ضعیفتری نسبت به سایر مناطق برخوردارند.

## واژه‌های کلیدی: آводگی آبخوان، آسیب‌پذیری، آب زیرزمینی، آبخوان مشهد-چناران، شاخص کیفی آب

نرخ خالص کاهش سطح آب‌های زیرزمینی جهانی از سال ۱۹۹۰ بوده است (Konikov and Likhodedova, 2011) (and Hannigan, 2018). بسیاری از سفره‌های زیرزمینی بزرگ جهان که تعذیب ناچیزی دارند به طور گسترده استخراج می‌شوند. واقعیت این است که حفاظت از آب‌های زیرزمینی به نسبت آب‌های سطحی امری به مراتب دشوارتر است (Moraru).

تخليه مخازن آب زیرزمینی همچنین با آводگی و آسیب‌پذیری آن به آلاینده‌ها مرتبط داشته شده (Machiwal and Jha, 2015). برای مثال تخليه آب زیرزمینی یکی از علل آводگی آن به آرسنیک در برخی نقاط دنیا است (Smedley and Kinniburgh, 2002). شاخص‌های متفاوتی برای بررسی کیفیت آب‌های زیرزمینی توسعه داده شده است. شاخص کیفیت آب زیرزمینی (GWQI)<sup>۱</sup> در مطالعات بسیاری جهت بررسی کیفیت آب زیرزمینی جهت مصارف شرب به کار رفته است (Ghosh and Bera, 2023; Sheikhi et al., 2021).

بشر همواره از آب زیرزمینی برای مقاصد مختلف مانند مصارف خانگی، صنعتی و کشاورزی استفاده کرده است. آводگی آب و عدم دسترسی به آب آشامیدنی سالم برای برخی از مردم جهان به یک مشکل بزرگ تبدیل شده است. ه گفته سازمان جهانی بهداشت (۲۰۱۷)، ۸۴۴ میلیون نفر در جهان به آب آشامیدنی سالم دسترسی ندارند. سفره‌های زیرزمینی عمده در سراسر جهان به دلیل بهره‌برداری بیش از حد در معرض تهدید قرار گرفته‌اند که نتیجه آن دو برابر شدن

- دانش‌آموخته کارشناسی ارشد علوم و مهندسی آب، دانشکده کشاورزی، دانشگاه فردوسی مشهد، مشهد، ایران
  - دانشیار گروه علوم و مهندسی آب، دانشکده کشاورزی، دانشگاه فردوسی مشهد، مشهد، ایران
  - دانشیار گروه علوم و مهندسی آب، دانشکده کشاورزی، دانشگاه فردوسی مشهد، مشهد، ایران
- (Email: hbnejad@gmail.com)      نویسنده مسئول: (\*)

آسیب‌پذیری آبخوان و ارتباط این دو پارامتر در مطالعه‌ای در کشور بنگالادش انجام شده است. شناسایی مناطق آسیب‌پذیر را روش دراستیک و شناسایی مناطق دارای کیفیت آب زیرزمینی ضعیفتر با شاخص کیفیت آب زیرزمینی انجام شده و نتایج نشان از ارتباط بسیار ضعیف بین دو شاخص داشته است که این مورد به تفاوت بین Rahman et al., (2021). در پژوهشی دیگر در کشور هند به بررسی شاخص آسیب‌پذیری در کنار شاخص کیفیت آب پرداخته شده است. در این مطالعه به همبستگی پایین شاخص آسیب‌پذیری با پارامترهای کیفی و لزوم استفاده از شاخص آلودگی در کنار شاخص آسیب‌پذیری پرداخته شده است (Chaudhary and Singh, 2023). در مورد کیفیت آبخوان در دشت مشهد، یک مطالعه یزدانی و همکاران (Hamza et al., 2014) به بررسی پارامترهای کیفی آب در سال ۱۳۹۲-۱۴۰۲ با استفاده از روش‌های درون‌یابی پرداخته‌اند. نتایج آن‌ها نشان از کیفیت پایین‌تر آب در قسمت‌های شمال غربی و جنوب شرقی دشت مشهد است.

در این مطالعه به بررسی چند وجهی وضعیت آبخوان مشهد-چنان‌ان از نظر کیفیت آب و آسیب‌پذیری پرداخته شده است تا علاوه بر نقاطی با کیفیت آب پایین‌تر، نقاط آسیب‌پذیر شناسایی شوند. جهت بررسی آسیب‌پذیری آبخوان و شناسایی نقاط آسیب‌پذیر از روش دراستیک استفاده شد. همچنین شاخص کیفیت آب زیرزمینی (GWQI) جهت مصارف شرب با داده‌های کیفیت آب ۳۵ چاه در سال ۱۴۰۰ و ۱۲۳ چاه در سال ۱۳۸۰ محاسبه گردید.

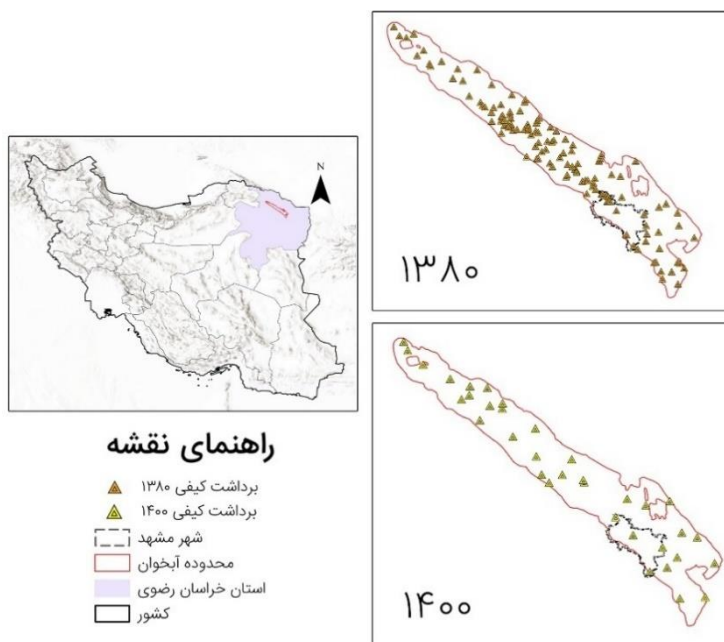
### معرفی منطقه

آبخوان مشهد-چنان‌ان که بین طول‌های جغرافیایی  $۵۸^{\circ} ۲۹'$  تا  $۵۹^{\circ} ۹'$  شرقی و عرض‌های جغرافیایی  $۳۷^{\circ} ۳' \text{ تا } ۳۸^{\circ} ۵'$  شمالی قرار دارد، از نظر وسعت و استفاده به عنوان اصلی ترین آبخوان آبرفتی در استان خراسان رضوی شناخته می‌شود. این آبخوان مساحتی در حدود  $۲۵۷۲$  کیلومتر مربع را پوشش می‌دهد. این آبخوان بخشی از حوضه کشف رود است که در شمال استان خراسان رضوی واقع شده است و از جنوب به کوه‌های بینالود، از شمال به کوه‌های هزار مسجد، از جنوب شرقی به حوضه رودخانه جامرود و از شمال غربی به حوضه رودخانه اترک محدود است. شهر مشهد با وسعتی در حدود  $۳۵۱$  کیلومتر مربع از مهم‌ترین شهرها در این محدوده مطالعاتی است (گزارش ممنوعیت منطقه مطالعاتی مشهد-چنان‌ان، ۱۳۹۷). بر اساس گزارش‌های شرکت مدیریت منابع آب ایران بیش از  $۸۰$  درصد از منابع آب استان خراسان رضوی از منابع آب زیرزمینی تأمین می‌شود که بیش از  $۹۰$  درصد آن به بخش کشاورزی اختصاص می‌یابد (Mirboluki et al., 2024).

(Bhavsar and Patel, 2023)

علاوه بر بررسی وضعیت کیفی آب زیرزمینی، بررسی آسیب‌پذیری آبخوان و شناسایی نواحی آسیب‌پذیر دارای اهمیت بسیاری است. روش‌های بسیاری برای تحلیل و ارزیابی آلودگی آب‌های زیرزمینی و آسیب‌پذیری آبخوان در نقاط مختلف جهان ارائه شده است (Moraru and Hannigan, 2018). این روش‌ها را می‌توان در چهار دسته شامل مدل‌های همپوشانی و میتنی بر شاخص، مدل‌های شبیه‌سازی مبتنی بر فرآیند، و مدل‌های آماری و روش‌های ترکیبی دسته‌بندی کرد (Taghavi et al., 2022). یکی از اصلی‌ترین روش‌های میتنی بر شاخص و همپوشانی، روش دراستیک است. این روش را محبوب ترین و پراستفاده‌ترین روش برای ارزیابی آسیب‌پذیری آب‌های زیرزمینی دانسته‌اند (Hamza et al., 2014). این روش برای اولین بار در دهه ۸۰ میلادی توسط آر و همکاران تحت یک همکاری بین انجمن ملی چاهه‌ای آب آمریکا و آژانس ملی محافظت از محیط‌زیست توسعه داده شد. این مدل هفت پارامتر کلیدی آسیب‌پذیری ذاتی آبخوان را که شامل عمق آب زیرزمینی، نرخ تغذیه، محیط آبخوان، محیط خاک، توپوگرافی، تأثیر ناحیه غیرنشایع و هدایت هیدرولیکی آبخوان است را ترکیب کرده و با اختصاص دادن وزن و رتبه به هر پارامتر، آسیب‌پذیری آن آبخوان را تعیین می‌کند (Aller and Thornhill, 1987). این روش در مطالعات متعددی در خارج و داخل کشور بکار Neshat et al., 2013, Asadi et al., 2016, Vosoogh et al., 2017, Bera et al., 2021 رفته است (). عمدۀ مطالعات به بررسی همبستگی میان شاخص آسیب‌پذیری با تنها یک یا دو پارامتر کیفی بسته کرده‌اند و تعداد بسیار محدودی اقدام به بررسی جامع‌تر همبستگی شاخص آسیب‌پذیری و پارامترهای مختلف کیفی کرده‌اند. از جمله محدود مطالعاتی که به همبستگی بین شاخص آسیب‌پذیری و پارامترهای مختلف کیفی پرداخته‌اند، می‌توان به پژوهش تقvoi و همکاران اشاره کرد که در کوئینزلند استرالیا به بررسی آسیب‌پذیری با دو شاخص دراستیک و دراستیک ترکیبی با اضافه کردن شاخص کاربری اراضی پرداخته است. همچنین همبستگی این شاخص‌ها با یازده پارامتر کیفی بررسی گردیده است. نتایج نشان از همبستگی Taghavi et al., 2023 با این حال این مطالعه به بیان دلائل این مسئله نپرداخته است.

بررسی آسیب‌پذیری در کنار کیفیت آب می‌تواند به بررسی بهتر و جامع‌تر شرایط کیفی آبخوان و سیاست‌گذاری‌های مرتبط با مدیریت آن کمک کند. از همین رو رحیمی و همکاران (۱۴۰۲) به بررسی وضعیت آب زیرزمینی در دشت ارومیه با بررسی همزمان نقشه آسیب‌پذیری آبخوان، نقشه کیفیت آب زیرزمینی و نقشه پتانسیل آن پرداخته‌اند. اندک مطالعاتی در محدوده دشت مشهد برای بررسی وضعیت کیفی آبخوان انجام شده است. بررسی همزمان کیفیت آب و



شکل ۱ - موقعیت محدوده مطالعاتی و چاهها

## مواد و روش‌ها

### داده مورد استفاده

جهت بررسی عمق آب در منطقه مطالعاتی، داده‌های ۸۰ چاه مشاهده‌ای با اندازه‌گیری‌های ماهانه عمق آب از سال ۱۳۹۹ تا ۱۳۶۷ از شرکت آب منطقه‌ای خراسان رضوی تهیه شد. همچنین داده ۱۸۸ عدد لاغ حفاری چاه‌ها و پیزومترها و همچنین هدایت هیدرولیکی این نقاط از شرکت آب منطقه‌ای خراسان رضوی، آب و فاضلاب مشهد و انجمن نظارت بر شرکت‌های حفاری، مشاهدات نقطه‌ای بافت خاک در ۲۲۰ نقطه از گروه علوم و مهندسی خاک دانشگاه فردوسی مشهد، نقشه توپوگرافی از ماهواره SRTM، داده بارندگی از سازمان هواشناسی کل کشور و داده هدایت هیدرولیکی از سازمان آب منطقه‌ای خراسان رضوی تهیه گردید. علاوه بر این، جهت بررسی وضعیت کیفی آب آبخوان از داده‌های کیفیت آب ۳۵ چاه در سال ۱۴۰۰ و ۱۴۲۳ چاه در سال ۱۳۸۰ تهیه شده توسط آب منطقه‌ای خراسان رضوی استفاده شد. برداشت‌های کیفی شامل پارامترهای کلسیم ( $\text{Ca}^{+2}$ ), میزیم ( $\text{Mg}^{+2}$ ), سدیم ( $\text{Na}^+$ ), پتاسیم ( $\text{K}^+$ ), کاتیون‌ها، درصد سدیم ( $\text{Na}^+/\text{Mg}^{+2}$ ), نسبت جذب سدیم (SAR)، سختی pH، هدایت الکتریکی (EC)، مجموع جامدات محلول (TDS)، کربنات ( $\text{CO}_3^{2-}$ ), بی‌کربنات ( $\text{Cl}^-$ ), کلراید ( $\text{Cl}^-$ ), سولفات ( $\text{SO}_4^{2-}$ ) و همچنین نیترات (در برداشت‌های ۱۴۰۰) ( $\text{NO}_3^-$  می‌باشد.

**آسیب‌پذیری آبخوان**  
روش دراستیک یکی از روش‌های شاخص همپوشانی و روی هم‌گذاری و محبوب‌ترین و پرکاربردترین روش ارزیابی آسیب‌پذیری آب زیرزمینی در دنیا است (Hamza et al., 2014). این روش برای اولین بار در دهه ۸۰ میلادی توسط آرلر و همکاران تحت یک همکاری بین انجمن ملی چاه‌های آب امریکا و آژانس ملی محافظت از محیط‌زیست توسعه داده شد. این مدل هفت پارامتر کلیدی آسیب‌پذیری ذاتی آبخوان را که شامل عمق آب زیرزمینی، نرخ تغذیه، محیط آبخوان، محیط خاک، توپوگرافی، تأثیر ناحیه غیراشباع و هدایت هیدرولیکی آبخوان است را ترکیب کرده و با اختصاص دادن وزن و رتبه به هر پارامتر، آسیب‌پذیری آن آبخوان را تعیین می‌کند (Aller and Thornhill, 1987).

در این مدل با توجه به ریسک آلودگی هر پارامتر در مقایسه با سایر پارامترها، وزن مشخصی (w) به آن پارامتر اختصاص داده می‌شود. این وزن‌ها مقادیر از ۱ که نشان دهنده کمترین نسبت به آلوگی و ۵ که بیان گر بیشترین میزان اهمیت نسبت به آلودگی است را شامل می‌شوند. همچنین مقادیر هر پارامتر خود به زیر بخش‌هایی تقسیم می‌شود که برای هر زیر شاخص رتبه‌ای (r) در نظر گرفته می‌شود. این رتبه عددی بین ۱ تا ۱۰ بوده که ۱ به معنی کم خطرترین زیرگروه و ۱۰ به معنی پرخطرترین است. شاخص نهایی آسیب‌پذیری دراستیک با اعمال وزن و رتبه به هر پارامتر به صورت رابطه ۱ محاسبه می‌شود:

شدند. موقعیت ۸۰ چاه مشاهدهای در شکل ۲ نمایش داده شده است. هر چه مقدار تغذیه خالص (R) بیشتر باشد، احتمال آلودگی آبخوان بیشتر شده و در نتیجه شاخص آسیب‌پذیری بالاتر است (Aller & Thornhill, 1987; Hamza et al., 2014). در این مطالعه به منظور تهیه‌ی لایه‌ی تغذیه‌ی خالص از روش پیسکوپو استفاده شد (Piscopo et al., 2001). در این روش سه عامل شیب، بارندگی و نفوذپذیری خاک برای محاسبه‌ی مقدار تغذیه بکار می‌روند. هر کدام از این پارامترها رتبه بندی شده و معادله نهایی به صورت زیر مقدار تغذیه را محاسبه و به هر گروه رتبه مورد نظر داده می‌شود:

$$\text{زیر مقدار تغذیه را محاسبه و به هر گروه رتبه مورد نظر داده می‌شود:} \\ \text{Tدرصد شیب} + \text{بارندگی} + \text{نفوذپذیری} = \text{نفوذپذیری خالص} \quad (2)$$

$$DI = DrDw + RrRw + ArAw + SrSw + TrTw + IrIw + CrCw \quad (1)$$

در این رابطه D عمق آب زیرزمینی، R تغذیه خالص، A محیط آبخوان، S نوع خاک، T توپوگرافی، I تأثیر ناحیه غیراشباع و C هدایت هیدرولیکی است (Aller and Thornhill, 1987).

عمق آب (D) به طور اساسی به این دلیل مهم است که به تعیین عمق مسیری که یک آلاینده باید از طریق آن عبور کند تا به آبخوان برسد کمک می‌کند (Aller and Thornhill, 1987). به طور کلی، اعمق بیشتر، به آب‌های آلوده نفوذ فرصت کافی برای تماس با آبخوان را نمی‌دهند. برای تهیه عمق آب از میانگین عمق آب در ۸۰ چاه مشاهدهای بین سال‌های ۱۳۶۷ تا ۱۳۹۹ استفاده شد تا آسیب‌پذیری بلند مدت بررسی شود و مقادیر با روش IDW درون‌بابی

جدول ۱- برآورد تغذیه خالص به روش پیسکوپو (Piscopo et al., 2001)

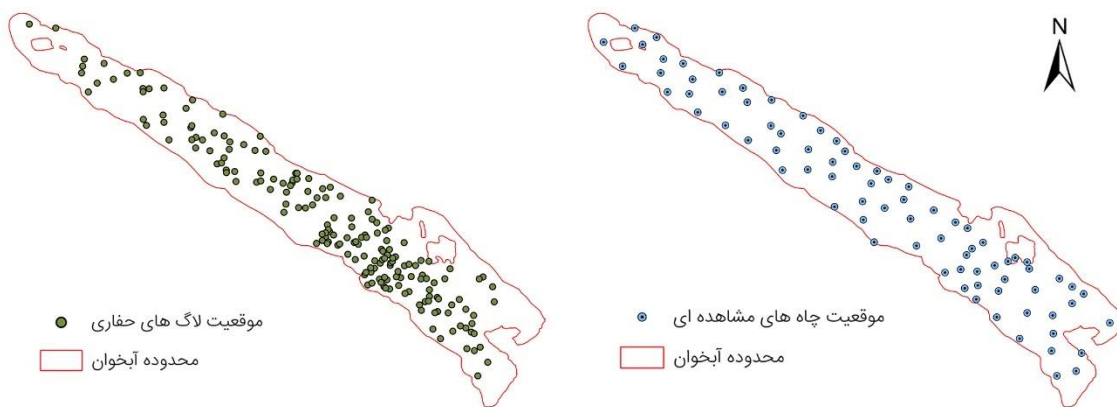
درصد شیب روز باشه	بارندگی (mm) روز باشه	نفوذپذیری خاک روز باشه	تغذیه خالص (وزن دراستیک=۴)	رتبه دراستیک
<۲	۴	>۸۵۰	۴	۱۳-۱۱
۱۰-۲	۳	۸۵۰-۷۰۰	۳	۱۱-۹
۳۳-۱۰	۲	۷۰۰-۵۰۰	۲	۹-۷
>۳۳	۱	<۵۰۰	۱	۷-۵
		بسیار پایین	۱	۵-۳

خاک تحت تأثیر قرار می‌گیرد (Umar et al., 2009). برای تهیه این لایه از مشاهدات زمینی درون‌بابی شده ۲۲۰ نقطه در سراسر محدوده مطالعاتی استفاده گردید. توپوگرافی (T) به شیب یک منطقه اشاره دارد. مناطق با شیب کم تمایل دارند که آب را برای مدت زمان بیشتری نگه دارند در نتیجه این امکان فراهم می‌شود که مقدار بیشتری آب نفوذ کرده و صرف تغذیه شود و امکان انتقال آلاینده بیشتر می‌شود. مناطق با شیب‌های تند، که دارای مقادیر زیادی از رواناب و مقادیر کمتری از نفوذ هستند، کمتر به آلودگی آب زیرزمینی حساس هستند (Rahman, 2008). مقادیر شیب از نقشه DEM از داده‌های رقومی ارتفاعی سنجنده SRTM با رزولوشن ۳۰ متر تهیه شد.

بافت ناحیه غیراشباع (I) بالای سطح آب زیرزمینی مشخص می‌کند که عبور آلاینده از این ناحیه چقدر زمان می‌برد. برای تهیه این لایه مشابه لایه‌ی محیط آبخوان عمل شد. هدایت هیدرولیکی (C) به توانایی مواد تشکیل‌دهنده آبخوان در انتقال آب اشاره دارد. این مقدار کنترل کننده جریان آلاینده پس از ورود به آبخوان است. آبخوانی با هدایت هیدرولیکی بالا می‌تواند در معرض آلودگی بیشتری باشد زیرا آلاینده می‌تواند به راحتی درون آبخوان حرکت کند (Rahman, 2008).

شیب از لایه‌ی توپوگرافی منطقه، بارندگی از مقادیر تجمعی استنگاه‌های بارندگی و نفوذپذیری خاک با توجه به بافت و جدول رتبه‌بندی پیسکوپو (جدول ۱) رتبه‌بندی شدند. جهت درون‌بابی بارندگی تجمعی سالیانه از روش IDW استفاده شد.

لایه محیط آبخوان (A)، بیان‌گر جنس مواد و رسوبات تشکیل‌دهنده آبخوان تعبیین کننده فرایند حرکت آلاینده شامل مسیر و طول مسیری که باید طی کند و مدت زمان آن است. در این پژوهش با توجه به طبقه‌بندی لاغهای حفاری ۱۸۸ چاه به روش یونفاید (زرنگ، ۱۳۹۸) و همچنین عمق آب این لایه با درون‌بابی به روش IDW تهیه گردید. موقعیت لاغهای حفاری در شکل ۲ آمده است. محیط خاک (S) به عنوان قسمت هوازده و بالای ناحیه‌ی غیراشباع تعریف می‌شود و به طور متوسط ۱/۸ متر یا کمتر است. این عامل تأثیر به سزاوی در نفوذ آب به زمین و در نتیجه توانایی آلاینده برای ورود به ناحیه غیراشباع دارد. به طور کلی، توانایی خاک در نفوذ آلاینده به طور قابل توجهی توسط نوع رس موجود و اندازه دانه‌های



شکل ۲- موقعیت چاههای مشاهده ای و لگهای حفاری استفاده شده در این مطالعه

جهت برآورد نقشه نهایی آسیب‌پذیری در منطقه مقادیر هر هشت پارامتر DRASTIC-L با اختصاص رتبه‌ها و وزن‌های هر پارامتر در محیط نرم افزار Arc GIS برهمنهی شدند. بر طبق مقادیر نهایی آسیب‌پذیری، منطقه مورد مطالعه بر پایه اختلاف مقادیر شاخص Taghavi et al., (2023). چهار کلاس تعریف شده عبارتند از: آسیب‌پذیری کم ( $D \leq D^- - s$ )، متوسط ( $D^- - 3s \leq D \leq D^- + s$ ), زیاد ( $D \geq D^- + s$ ) و خیلی زیاد ( $D \geq D^- + 2s$ ). همچنین مقدار همبستگی شاخص دراستیک با پارامترهای کیفی از چاهها بررسی شد. رتبه‌ها و وزن‌های هر کدام از پارامترهای دراستیک (Aller and Thornhill, 1987) در جدول ۲ بیان شده است.

#### محاسبه شاخص کیفیت آب‌زیرزمینی

برای محاسبه شاخص کیفیت آب با توجه به اهمیت نسبی هر پارامتر کیفی با توجه به مصارف شرب و اثرات آن پارامتر بر سلامتی، به هر پارامتر کیفیت آب یک وزن ( $w_i$ ) بین ۱ تا ۵ اختصاص می‌یابد. بیشترین وزن که برابر با ۵ است به پارامترهایی نظیر TDS که اثر قابل توجهی دارند اختصاص می‌یابد. وزن نسبی برای هر پارامتر ( $W_i$ ) از معادله ۳ محاسبه می‌شود:

$$W_i = \frac{w_i}{\sum_{i=1}^n w_i} \quad (3)$$

در اینجا  $n$  تعداد پارامترها است. در مرحله بعد نرخ کیفی ( $qi$ ) برای هر پارامتر با داشت گرفته مقدار اندازه‌گیری شده آن پارامتر در هر نمونه بر مقدار استاندارد مربوطه آن طبق دستورالعمل‌های سازمانی محاسبه می‌شود:

$$qi = \left( \frac{Ci}{Si} \right) \times 100 \quad (4)$$

در اینجا  $qi$  نرخ کیفی برای هر پارامتر،  $Ci$  غلظت هر پارامتر بر حسب میلی گرم بر لیتر و  $Si$  غلظت استاندارد براساس دستورالعمل مؤسسه استاندارد و تحقیقات صنعتی ایران ویرایش پنجم است.

از آن جا که تعداد آزمایش‌های پمپاژ در دشت مشهد برای برآورد ضریب قابلیت انتقال اندک است، از هدایت هیدرولیکی تهیه شده به روش تجربی از لگهای حفاری از مطالعه عابدی و همکاران استفاده شد (عابدی و همکاران، ۱۳۹۵). در این روش مقادیر هدایت هیدرولیکی هر لایه در لگ حفاری با توجه به مقادیر تجربی بدست آمده در آزمایشگاه تعیین شده و سپس مقدار هدایت هیدرولیکی اشباع آبخوان بر اساس این مقادیر تعیین می‌شود. مقادیر تخمینی هدایت هیدرولیکی براساس لگهای حفاری از شرکت آب منطقه‌ای خراسان رضوی تهیه و به روش IDW درون‌یابی شدند. تعدادی از پژوهش‌ها به محدودیت پارامترهای مدل دراستیک انتقاد کردند (Elzain et al., 2023, Liang et al., 2019, Safa et al., 2020) پژوهشگران متعددی به تغییر مدل اصلی دراستیک با افزودن یا کم کردن پارامترها یا استفاده از وزن‌ها و نرخ‌های مختلف برای پارامترها پرداخته‌اند. از آنجا که وجود آلاینده در سطح زمین بر آلودگی آب زیرزمینی مؤثر است، می‌توان ادعا کرد که روش‌های ارزیابی آسیب‌پذیری آب‌های زیرزمینی باید ویژگی‌های هیدرولیکی آبخوان و تأثیر فعالیت‌های انسانی بر آب زیرزمینی را در نظر بگیرند (Wu et al., 2015). در نتیجه، دسته‌بندی کاربری ارضی یک پارامتر مهم است که می‌تواند به چارچوب دراستیک اضافه شود. این مسئله در چندین مطالعه مورد توجه قرار گرفته است (Wu et al., 2015, Kwon et al., 2022, Taghavi et al., 2023). برای تهیه این لایه از نقشه کاربری اراضی جهانی ESRI با دقت کلی ۸۵ درصد در ۹ کلاس و وضوح ۱۰ متر تهیه شده از ماهواره‌ی sentinel-2 استفاده شد (Karra et al., 2021). وزن پیشنهادی برای این پارامتر ۵ (Alam et al., 2014) و رتبه‌های پیشنهادی برای هر دسته با توجه به پراکندگی نیترات در محدوده مطالعاتی و بررسی مطالعات پیشین به پراکندگی نیترات در محدوده آبخوان مشهد-چناران از نظر کیفی و آسیب‌پذیری با استفاده از دراستیک (Sarkar and Pal, 2021, Taghavi et al., 2023) مطابق جدول ۱ تعیین شد.

جدول ۲- رتبه‌ها و وزن‌های اختصاص داده شده در مدل دراستیک

رتبه	پارامتر	رتبه	پارامتر	رتبه	پارامتر
وزن ۳	محیط آبخوان	وزن ۴	تغذیه خالص	وزن ۵	عمق تا سطح ایستابی (متر)
۱۰	گراول	۱۰	۱۳-۱۱	۱۰	۰ - ۱/۵
۸	گراول ماسه‌ای و رس	۸	۱۱-۹	۹	۱/۵ - ۴/۶
۷	ماسه	۵	۹-۷	۷	۴/۶ - ۹/۱
۶	ماسه سیلیتی	۳	۷-۵	۵	۹/۱ - ۱۵/۲
۵	ماسه رسی	۱	۵-۳	۳	۱۵/۲ - ۲۲/۸
۲	رس سیلیتی	-	-	۲	۲۲/۸ - ۳۰/۵
۱	رس	-	-	۱	> ۳۰/۵
رتبه	پارامتر	رتبه	پارامتر	رتبه	پارامتر
وزن ۵	محیط غیراشباع	وزن ۱	شیب (درصد)	وزن ۲	محیط خاک
۱۰	گراول	۱۰	۲-۰	۳	لوم رسی
۸	گراول ماسه‌ای و رس	۹	۶-۲	۴	لوم سیلیتی
۷	ماسه	۵	۱۲-۶	۵	لوم
۶	ماسه سیلیتی	۳	۱۸-۱۲	۶	لوم ماسه‌ای
۵	ماسه رسی	۱	>۱۸	۹	ماسه
۳	سیلت	-	-	-	-
۲	رس سیلیتی	-	-	-	-
۱	رس	-	-	-	-
رتبه	پارامتر	رتبه	پارامتر	رتبه	پارامتر
وزن ۵	کاربری اراضی	وزن ۳	هدایت هیدرولیکی (متر بر روز)	وزن ۳	پارامتر
۸	شهری	۱۰	>۸۲		
۷	زراعی	۸	۸۲-۴۱		
۳	مرتع و فضای سبز	۶	۲۸/۷ - ۴۱		
۱	آب و زمین‌های بازی	۴	۱۲/۳ - ۲۸/۷		
		۲	۴/۱ - ۱۲/۳		
		۱	۰/۴ - ۴/۱		

جدول ۳ آمده است.

پس از محاسبه مقادیر شاخص کیفیت آب زیرزمینی، تقسیم‌بندی این شاخص برای آب آشامیدنی به شرح زیر است: (Dadge and Patil, 2022).

در آخر مقادیر GWQI مطابق با جدول ۴ در پنج دسته کیفیت عالی تا غیرقابل شرب طبقه‌بندی شدند. نتایج با روش IDW درون‌یابی شده و نقشه شاخص کیفیت آب زیرزمینی رسم شد.

## نتایج و بحث

### آسیب‌پذیری آبخوان

جهت تهیه نقشه آسیب‌پذیری، در ابتدا هشت پارامتر عمق آب زیرزمینی، تغذیه خالص، محیط آبخوان، محیط خاک، توپوگرافی، تأثیر ناحیه غیراشباع، هدایت هیدرولیکی و کاربری اراضی از منابع مختلف

در نهایت برای محاسبه شاخص کیفیت آب زیرزمینی (GWQI) زیرشاخص  $SI_i$  برای هر پارامتر به صورت زیر محاسبه و مجموع این مقادیر برابر با شاخص کیفیت آب است:

$$SI_i = W_i \times q_i \quad (5)$$

$$GWQI = \sum SI_i \quad (6)$$

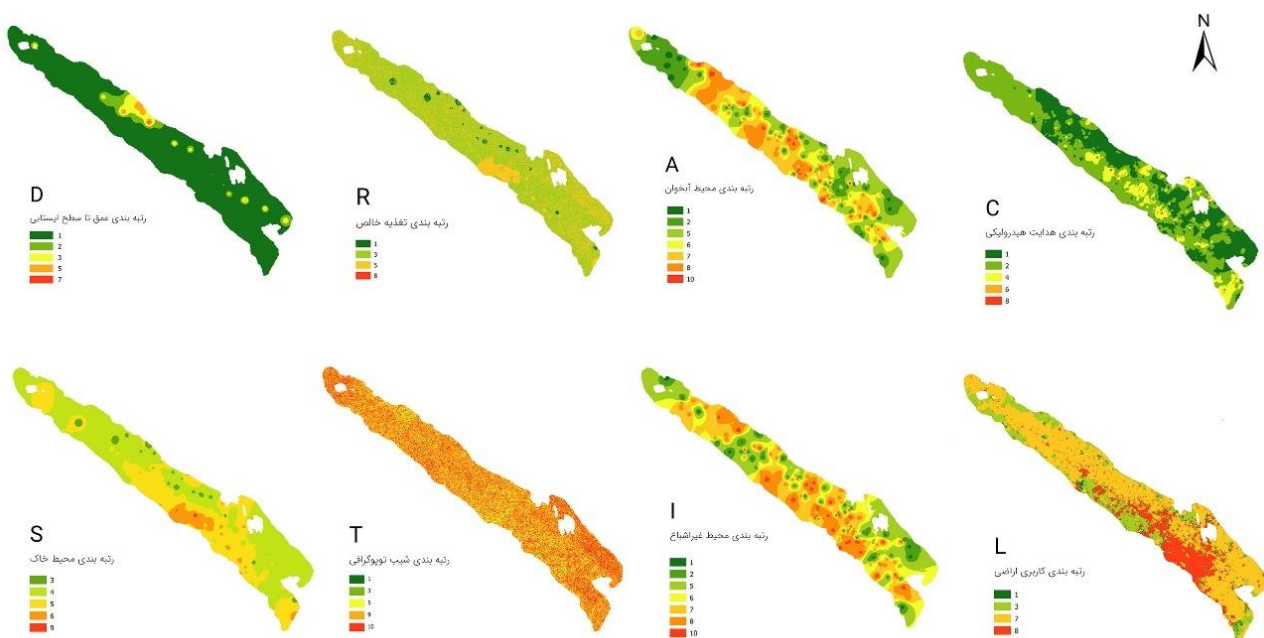
در این پژوهش از نه پارامتر کیفی برای محاسبه شاخص استفاده شد. انتخاب پارامترها با توجه به دسترسی به مشاهدات کیفی و مطالعات مشابه قبلی انجام شده است (Adimalla and Taloor, 2020). همچنین به اهمیت برخی از این پارامترها همچون pH، TDS و نیترات در کیفیت آب در مطالعات پیشین پرداخته شده است (Machiwal et al., 2019). وزن مربوط به هر پارامتر مطابق با پژوهش بدیعی نژاد و همکاران (Badeenezhad et al., 2020) و مقدار استاندارد ملّی ایران در

محیط آبخوان و همچنین تأثیر ناحیه غیراشباع با توجه به داده‌های موجود اصلاح شود. پس از تهیه نقشه نهایی، مقادیر آسیب‌پذیری با داده‌های کیفی آبخوان مقایسه شد و مقادیر ضریب همبستگی محاسبه گردید. لایه‌های هشت پارامتر دراستیک ترکیبی در شکل ۳ آمده است.

تهیه شدند. سپس با استفاده از روش‌های درون‌بایی لایه رستری مربوط به هر پارامتر در محیط نرم‌افزار Arc GIS تهیه شد. به مقادیر هر لایه مطابق با روش دراستیک، رتبه و وزن مربوط اختصاص داده شد. با توجه به تفاوت در برخی داده‌های برداشتی و یا عدم دسترسی به برخی داده‌ها نیاز بود تا رتبه‌های اختصاص داده شده به پارامترهای

جدول ۳- مقادیر استاندارد مؤسسه استاندارد ایران و ضرایب وزنی هر پارامتر

مقادیر استاندارد ملی ایران	ضرایب وزنی (wi)	پارامتر کیفی
pH	۴	۶/۵ - ۸/۵
TDS	۵	۱۰۰۰
TH	۴	۲۰۰
$\text{SO}_4^{2-}$	۴	۲۵۰
$\text{Cl}^-$	۳	۲۵۰
$\text{NO}_3^-$	۵	۵۰
$\text{Ca}^{+2}$	۲	۳۰۰
$\text{Mg}^{+2}$	۲	۳۰
$\text{Na}^+$	۲	۲۰۰
$\sum w_i = ۳۱$		



شکل ۳- نقشه رتبه‌بندی لایه‌های دراستیک ترکیبی در محدوده مطالعاتی

تنها نقاط محدودی از آبخوان از نظر این پارامتر در آسیب‌پذیری آبخوان مؤثرند. تغذیه خالص از روش رتبه‌بندی پیسکوپو محاسبه شد. به اکثریت محدوده مطالعاتی از نظر تغذیه خالص رتبه ۳ تعلق می‌گیرد.

جهت تهیه‌ی لایه محیط آبخوان از داده ۱۸۸ عدد لاغ حفاری

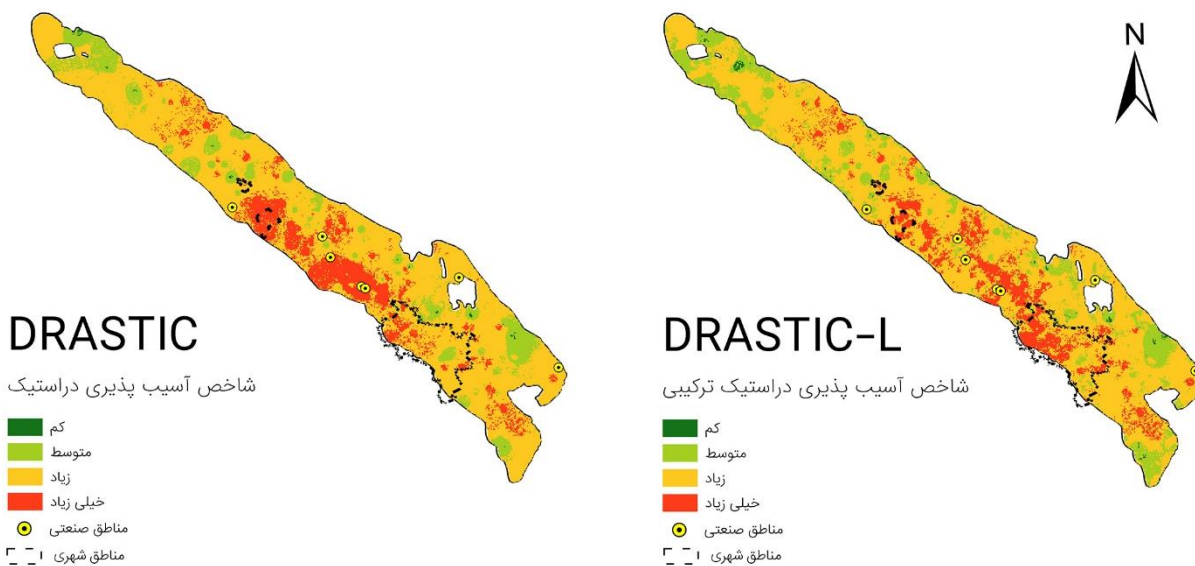
در محدوده مطالعاتی میانگین عمق تا سطح ایستابی بین ۶ تا ۱۴۱ متر متغیر بوده و در بیشتر نقاط آبخوان بیش از ۳۰ متر است. به همین جهت به اکثر محدوده آبخوان رتبه ۱ تعلق می‌گیرد به این معنی که در این مناطق تأثیر پارامتر عمق آب زیرزمینی در آسیب‌پذیری آبخوان کمترین مقدار است.

ماسه رسی با ۲۸ درصد محدوده و ماسه با ۲۵ درصد بیشترین مساحت را در این محدوده دارند. ماسه سیلیتی و گراول و ماسه و رس به ترتیب با ۱۹ و ۱۸ درصد از محدوده در رتبه های بعدی هستند. گراول و رس تنها بخش کوچکی از محدوده را با کمتر از ۴ درصد گرفته اند. مقدار برآورده شده هدایت هیدرولیکی در اکثر مناطق محدوده مطالعاتی در بازه‌ی ۰/۴ تا ۴/۱ قرار دارد که کمترین تأثیر را بر انتقال آبودگی داشته و رتبه ۱ طبق رتبه‌بندی دراستیک به این بازه تعلق می‌گیرد. مطابق با نقشه کاربری اراضی ESRI فوق اکثربت اراضی محدوده مطالعاتی را مناطق زراعی و شهری تشکیل می‌دهند که بیشترین تأثیر را در آبودگی آبخوان دارند. پس از اعمال وزن‌ها و رتبه‌ها برای هر پارامتر نقشه نهایی آسیب‌پذیری آبخوان برای دراستیک و دراستیک ترکیبی با برهم نهی در محیط Map Arc به دست آمد.

به صورت طبقه‌بندی شده استفاده و با توجه به مقادیر تراز آب زیرزمینی این لایه تهیه شد. ماسه رسی با ۳۰ درصد محدوده و ماسه با ۲۰ درصد بیشترین مساحت را در این محدوده دارند. رس سیلیتی و ماسه سیلیتی و سپس گراول و ماسه و رس به ترتیب با ۱۸ و ۱۶ و ۱۳ درصد از محدوده در رتبه‌های بعدی هستند. گراول و رس تنها بخش کوچکی از محدوده را با ۳ درصد گرفته‌اند. لایه محیط خاک با استفاده از درون‌بایی ۲۲۰ نقطه مشاهده‌ای تهیه شد. نتایج نشان می‌دهد دو بافت خاک اصلی در محدوده بافت‌های لوم سیلیتی و لوم هستند که به ترتیب ۵۶ و ۳۷ درصد از محدوده را گرفته‌اند. لایه شبیه از نقشه DEM بیان گر آن است که در بیشتر نقاط آبخوان شبیه توپوگرافی بین ۲ تا ۶ درصد بوده و رتبه ۹ را دارد. پس از آن شبیه‌های کمتر از ۲ درصد، بیشترین محدوده را دارد. لایه محیط غیر اشبع نیز مشابه با لایه محیط آبخوان تهیه شده و نشان می‌دهد که

جدول ۴- طبقه‌بندی شاخص کیفیت آب

GWQI	کیفیت آب
۵۰<	کیفیت عالی
۱۰۰-۵۰	کیفیت خوب
۲۰۰-۱۰۰	کیفیت ضعیف
۳۰۰-۲۰۰	کیفیت خیلی ضعیف
>۳۰۰	غیرقابل شرب



شکل ۴- نقشه آسیب‌پذیری حاصل از مدل دراستیک و دراستیک ترکیبی

آسیب‌پذیری به آبودگی نشان می‌دهند. در این نتایج کلاس آسیب‌پذیری زیاد، در هر دو مدل بیشترین مساحت را به خود اختصاص داده است. خلاصه نتایج مدل‌های دراستیک و دراستیک ترکیبی در جدول ۵ بیان شده است.

طبق نتایج بدست آمده شاخص دراستیک برای منطقه مورد مطالعه بین ۴۱ تا ۱۴۴ و شاخص دراستیک ترکیبی بین ۵۶ تا ۱۸۰ متغیر هستند. نقشه دراستیک و دراستیک ترکیبی در شکل ۴ آمده است.

نقشه‌های حاصل شده وضعیت مناطق مختلف را از نظر

جدول ۵- نتایج شاخص دراستیک و دراستیک ترکیبی

کلاس آسیب‌پذیری	معادله طبقه‌بندی	DRASTIC			DRASTIC-L		
		درصد از مساحت	باذه طبقه‌بندی	درصد از مساحت	باذه طبقه‌بندی	درصد از مساحت	باذه طبقه‌بندی
کم	$D \leq \bar{D} - 3s$	۴۱ - ۴۸	۰/۱	۵۶ - ۷۲	۰/۳		
متوسط	$\bar{D} - 3s \leq D \leq \bar{D} - s$	۴۸ - ۷۵	۱۲/۳	۷۲ - ۱۰۴	۱۶/۱		
زیاد	$\bar{D} - s \leq D \leq \bar{D} + s$	۷۵ - ۱۰۳	۷۲/۳	۱۰۴ - ۱۳۷	۶۹/۲		
خیلی زیاد	$D \geq \bar{D} + s$	۱۰۳ - ۱۴۴	۱۵/۱	۱۳۷ - ۱۸۰	۱۴/۲		

همچنین شهرستان گلبهار در محدوده آسیب‌پذیری خیلی زیاد قرار دارد. جهت بررسی وضعیت کیفیت آب زیرزمینی از ۱۰۰ برداشت کیفی از ۳۵ چاه در سال ۱۴۰۰ و ۱۲۸ برداشت از ۱۲۳ چاه در سال ۱۳۸۰ پراکنده در محدوده استفاده شد. خلاصه برداشتهای کیفی سال ۱۴۰۰ در جدول ۶ آمده است.

کلاس آسیب‌پذیری زیاد در هر دو مدل دراستیک و دراستیک ترکیبی ۷۲/۳ و ۶۹/۲ درصد از مساحت کل را تشکیل می‌دهد. همچنین کلاس آسیب‌پذیری کم تنها ۰/۱ و ۰/۳ مساحت منطقه را در این دو مدل دارا است. همچنین، بخش قابل توجهی از شهر مشهد و همچنین شهرک‌های صنعتی اطراف آن شامل شهرک‌های توسعه، صنایع غذایی و ماشین‌سازی دارای آسیب‌پذیری خیلی زیاد هستند.

جدول ۶- خلاصه برداشتهای کیفی

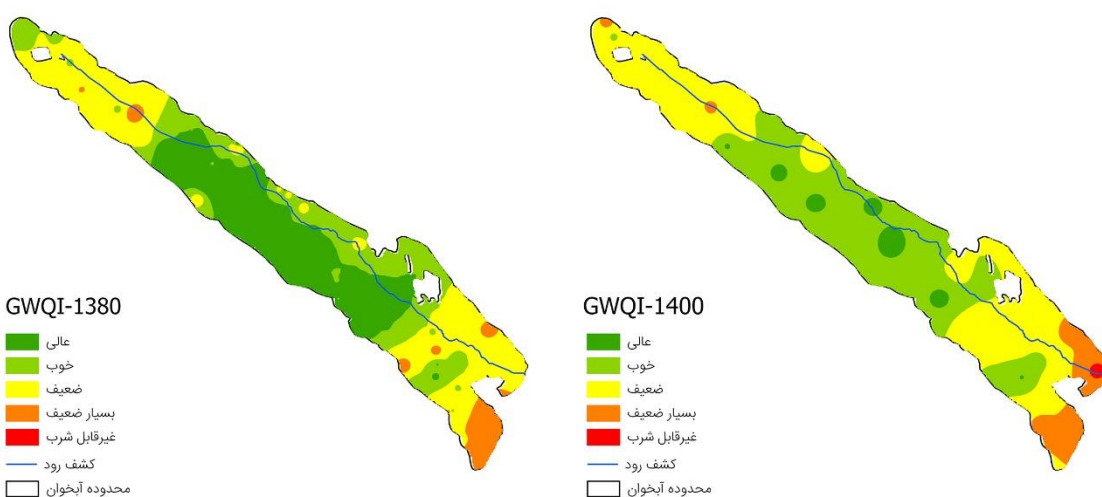
پارامتر کیفی آب	واحد	۱۴۰۰				۱۳۸۰				همبستگی با DRASTIC		همبستگی با DRASTIC-L	
		حداکثر	حداقل	میانگین	حداکثر	حداقل	میانگین	حداقل	۱۴۰۰	۱۳۸۰	۱۴۰۰	۱۳۸۰	
کلسیم	mg/lit	۱۹۸	۲۸	۹۲	۳۸۰/۷	۲۰	۶۶/۶۱	۰/۰۰۴	۰/۰۷	-۰/۰۸	-۰/۰۹		
کلراید	mg/lit	۱۲۷۶/۲	۳/۵	۲۶۳/۹	۱۶۴۸	۱۰/۶۳	۱۹۱	-۰/۲۴	-۰/۰۸	-۰/۲۳	-۰/۱۱		
منزیم	mg/lit	۲۱۶/۲	۸/۵	۵۷/۹	۲۱۹/۹	۳/۶۴	۴۰	-۰/۰۱	-۰/۰۶	-۰/۰۶	-۰/۰۶		
پتاسیم	mg/lit	۲۷/۳	۰/۳	۲/۷	۶۲/۵۶	۰	۳/۷	-۰/۱۹	-۰/۱۷	-۰/۲۳	-۰/۲۷		
سدیم	mg/lit	۱۱۲۴	۲/۲	۲۶۷/۷	۱۱۲۶/۵	۴/۵	۱۸۶/۷۲	-۰/۲۹	-۰/۱۲	-۰/۳	-۰/۱۴		
نیترات	mg/lit	۱۴۴/۴	۳/۷	۲۳/۴	-	-	-	۰/۰۲	-	۰/۰۸	-		
سولفات	mg/lit	۱۳۱۴/۱	۲/۴	۳۹۳/۱	۱۹۱۶	۱۹/۲۱	۲۸۹/۸	-۰/۰۵	-۰/۰۶	-۰/۰۳	-۰/۰۶		
EC	µS/cm	۵۶۳۰	۳۰۷	۲۰۶۶	۶۴۱۱	۲۹۱	۱۴۵۱	-۰/۲۳	-۰/۰۸	-۰/۲۳	-۰/۱		
TDS	mg/lit	۳۵۴۶	۱۹۳/۴	۱۳۰۱/۶	۴۰۳۸/۹	۱۸۳/۳	۹۱۴	-۰/۳۴	-۰/۰۸	-۰/۳۱	-۰/۱		
TH	mg/lit	۱۳۳۵	۱۱۵	۴۹۲	۱۶۲۰	۹۰	۳۳۰/۹۷	-	-	-	-		
pH	-	۸/۲۶	۷/۱۶	۷/۴۹	۸/۸	۶/۸	۸	-	-	-	-		

قابل توجه دیگر افزایش قابل توجه میانگین مشاهدات کیفی بین سال‌های ۱۳۸۰ تا ۱۴۰۰ می‌باشد. در ادامه با توجه به برداشتهای کیفی چاه‌ها مقدار شاخص کیفیت آب زیرزمینی برای هر برداشت محاسبه و نقشه شاخص کیفی آب زیرزمینی تهیه شد. خلاصه نتایج مربوط به شاخص کیفیت آب در جدول ۷ مشاهده می‌شود. مطابق با شاخص محاسبه شده، اکثر نمونه‌ها در سال ۱۴۰۰ رسته ضعیف برای مقاصد آشامیدنی قرار گرفتند. پس از آن رسته‌های عالی و خوب قرار می‌گیرند. این در حالی است که در سال ۱۳۸۰ اکثربت نمونه‌ها در رسته کیفیت عالی قرار داشتند. نقشه درون‌یابی شده شاخص کیفیت آب در شکل ۵ مشاهده می‌شود.

همان‌طور که از جدول مشخص است، همبستگی بالای میان شاخص‌های آسیب‌پذیری و پارامترهای کیفیت آب مشاهده نشد. به این موضوع در مطالعات دیگری نیز اشاره شده است (Taghavi et al., 2023, Kwon et al., 2022 وزن‌ها و رتبه‌های تجربی به پارامترها و همچنین تفاوت در مفهوم آسیب‌پذیری و آلودگی و حرکت آلاندنه در آبخوان باشد. آسیب‌پذیری یک منطقه‌الزاماً به معنای آلودگی آن نمی‌باشد. نقشه آسیب‌پذیری نشان نمی‌دهد که کدام مناطق در حال حاضر بیشتر آلوده هستند، بلکه نشان می‌دهد که کدام مناطق ممکن است بر اساس اطلاعات موجود مستعد خطر بیشتری باشند (Rahman et al., 2021).

جدول ۷- شاخص کیفیت آب زیرزمینی در برداشت‌های ۱۳۸۰ و ۱۴۰۰

دسته‌بندی کیفی	GWQI	۱۳۸۰		۱۴۰۰	
		تعداد چاهها	تعداد نمونه‌ها	تعداد چاهها	تعداد نمونه‌ها
عالی	۵۰>	۷۲	۷۱	۲۳	۸
خوب	۱۰۰-۵۰	۲۳	۲۱	۲۰	۷
ضعیف	۲۰۰-۱۰۰	۱۹	۱۸	۳۲	۱۰
بسیار ضعیف	۳۰۰-۲۰۰	۱۳	۱۲	۱۹	۶
غیر قابل شب	<۳۰۰	۱	۱	۶	۱



شکل ۵- شاخص کیفیت آب زیرزمینی

درصد از مساحت محدوده را کاربری مناطق ساخته شده (مسکونی و صنعتی) تشکیل می‌دهد. در محدوده آبخوان مشهد-چنان، شهرهای مشهد و شهرستان‌های چنان‌آن و گلبهار از مراکز اصلی جمعیتی هستند. شهر مشهد به عنوان اصلی‌ترین تولید کننده فاضلاب شهری در محدوده شناخته می‌شود. مطابق با مطالعات انجام‌شده در منطقه غلظت نیترات در برخی از چاههای محدوده شهر مشهد بسیار بالاتر از حد استاندارد گزارش شده است و نشت فاضلاب شهری در این محدوده از عوامل مهم آلودگی آبخوان بوده است (لطیف و همکاران، ۱۳۸۴). در این محدوده شهرک‌های صنعتی مشهد (کلات)، توس، چنان‌آن واقع شده‌اند. همچنین تعداد قابل توجهی از صنایع فعال منطقه به صورت پراکنده در این محدوده واقع شده‌اند. با توجه به موقعیت برخی شهرک‌های صنعتی و واقع شدن آن‌ها در مکان‌هایی با آسیب‌پذیری بیشتر توجه به این مناطق اهمیت بالای دارد و می‌توانند از عوامل مؤثر در آلودگی آبخوان باشند. یک مطالعه بر روی پساب تصفیه‌خانه شهرک صنعتی توس نشان داد با وجود در حد استاندارد

مطابق با شکل ۵ در سال ۱۴۰۰ آب اکثر مساحت منطقه دارای کیفیت خوب است. مناطق دارای کیفیت ضعیف و خیلی ضعیف در قسمت ورودی و خروجی آبخوان قرار دارند. در سال ۱۳۸۰، کلاس عالی اکثربت وسعت منطقه را دارا بوده است. در این سال نیز در خروجی آبخوان در جنوب و در ورودی در شمال آبخوان کیفیت آب به نسبت سایر نقاط ضعیفتر است. همچنین، به رغم وجود تعداد مشاهداتی کمتر در سال ۱۴۰۰ کاهش کیفیت آب زیرزمینی در محدوده بین شهر مشهد و شهر چنان‌آن به خوبی مشاهده می‌شود. علاوه بر این، در هر دو سال در برخی از نمونه‌هایی که در اطراف رودخانه کشف‌رود قرار دارند، کیفیت آب ضعیفتری به نسبت نقاط اطراف آن‌ها مشاهده می‌شود. برخی تفاوت‌های جزئی دو نقشه به علت تعداد کمتر مشاهدات در سال ۱۴۰۰ است.

#### منابع آلاینده در محدوده

براساس نقشه کاربری اراضی ESRI در سال ۲۰۲۰ میلادی حدود ۴۳ درصد از مساحت محدوده را کاربری کشاورزی و حدود ۲۰

ارزیابی کیفیت آب زیرزمینی دشت ارومیه برای مصارف کشاورزی با استفاده از روش ترکیبی مدل‌های آسیب‌پذیری آводگی، پتانسیل و شاخص کیفیت آب زیرزمینی. نشریه آبیاری و زهکشی ایران. ۱۷(۴): ۷۱۹-۷۳۳.

زنگ، ا.، لشکری پور، غ. و غفوری، م. ۱۳۹۸. بررسی شرایط زیرسطحی و تاثیر آن بر میزان نشست زمین در غرب دشت مشهد ششمین کنگره ملی عمران، معماری و توسعه شهری <https://civilica.com/doc/1003471>

لطیف، م.، موسوی، ف.، افیونی، م. و ولایتی، س. ۱۳۸۴. بررسی آводگی نیترات و منشایابی آن در آب‌های زیرزمینی دشت مشهد. علوم کشاورزی و منابع طبیعی. ۱۲(۲): ۲۱-۳۲.

مؤسسه استاندارد و تحقیقات صنعتی ایران. ۱۳۸۸. آب آشامیدنی - ویژگی‌های فیزیکی و شیمیابی. تهران، شماره ۱۰۵۳: بازنگری پنجم.

عادی، م.، کرمی، غ. و حافظی مقدس، ن. ۱۳۹۵. تخمین قابلیت انتقال با استفاده از لاغ‌های حفاری در دشت مشهد چهارمین کنگره بین‌المللی عمران، معماری و توسعه شهری. <https://civilica.com/doc/618185>

یزدانی، م.، درمانی، م.، نهتانی، م.، آرا، ه. و ابراهیمیان، ص. ۱۴۰۲. بررسی پارامترهای کیفی آب‌های زیرزمینی با استفاده از روش‌های زمین آمار (مطالعه موردی: دشت مشهد). پژوهش‌های فرسایش محیطی. ۱۳(۴): ۲۵۶-۲۷۲.

Adimalla, N. and Taloor, A. K. 2020. Hydrogeochemical investigation of groundwater quality in the hard rock terrain of South India using Geographic Information System (GIS) and groundwater quality index (GWQI) techniques. *Groundwater for Sustainable Development*. 10: 100288.

Alam, F., Umar, R., Ahmed, S. and Dar, F. A. 2014. A new model (DRASTIC-LU) for evaluating groundwater vulnerability in parts of central Ganga Plain, India. *Arabian Journal of Geosciences*. 7: 927-937.

Aller, L., Bennett, T., Lehr, J., Petty, R.J. and Hackett, G., 1987. DRASTIC: A standardized system for evaluating ground water pollution potential using hydrogeologic settings. US Environmental Protection Agency. Washington. DC: 455.

Asadi, P., Ataei-Ashtiani, B. and Beheshti, A. 2016. Vulnerability assessment of urban groundwater resources to nitrate: the case study of Mashhad, Iran. *Environmental Earth Sciences*, 76, 41.

Badeenezhad, A., Tabatabaee, H. R., Nikbakht, H.-A., Radford, M., Abbasnia, A., Baghapour, M. A. and Alhamd, M. 2020. Estimation of the groundwater

بودن غلظت بیشتر عناصر سنگین در پساب، غلظت بالای جیوه در آن می‌تواند بر روی آводگی آب زیرزمینی به این عنصر مؤثر باشد (امیرنژاد و همکاران، ۱۳۹۵). بررسی نقشه کاربری اراضی و نقشه آسیب‌پذیری نشان می‌دهد که بخش عمده کلاس آسیب‌پذیری خیلی زیاد در کاربری‌های مناطق ساخته شده و همچنین کاربری بایر قرار دارند که بخش قابل توجهی از آسیب‌پذیری مطابق شاخص دراستیک در محدوده شهرک‌های صنعتی طوس و صنایع غذایی قرار گرفته است.

## نتیجه‌گیری

ارزیابی آسیب‌پذیری آبخوان مشهد-چناران با روش‌های دراستیک و دراستیک ترکیبی بیانگر آن است که عمده مساحت منطقه (حدود ۷۰ درصد) دارای آسیب‌پذیری زیاد می‌باشد. همچنین مناطق دارای آسیب‌پذیری خیلی زیاد عمدتاً در بخش‌های مرکزی آبخوان قرار دارند که شامل بخش‌هایی از شهر مشهد و شمال غربی شهر مشهد می‌شود و حدود ۱۵ درصد از مساحت منطقه را پوشش می‌دهند. نکته قابل توجه قرار گرفتن شهرک‌های صنعتی در محدوده‌ای است که مطابق با هر دو مدل دارای آسیب‌پذیری خیلی زیاد هستند. جهت بررسی دقیق‌تر وضعیت کیفی و تغییرات آن در محدوده مطالعاتی، شاخص کیفیت آب زیرزمینی (GWQI) در دو سال ۱۳۸۰ و ۱۴۰۰ در این محدوده محاسبه گردید. نتایج بیان گر این است که مناطق جنوبی آبخوان که در قسمت خروجی آبخوان قرار دارند، کمترین کیفیت آب را جهت مصارف آشامیدن دارا هستند. کیفیت ضعیف آب در مناطق شمالی آبخوان نیز دیده می‌شود که علت این مسئله می‌تواند فعالیت‌های انسانی از جمله تجمع زمین‌های کشاورزی و روستاهای باشد. نتایج این تحقیق با نتایج پژوهش یزدانی و همکاران (۱۴۰۲) که به بررسی توزیع پارامترهای کیفی در محدوده دشت مشهد با روش‌های زمین آمار پرداخته است، مطابقت دارد. با توجه به داده‌های مشاهداتی می‌توان به کاهش کیفیت آب زیرزمینی در طی بیست سال پی‌برد، به طوری که کاهش کیفیت در مشاهدات مناطق مرکزی آبخوان به وضوح دیده می‌شود که این مورد با قرار گرفتن بخش قابل توجهی از این مناطق در دسته مناطق با آسیب‌پذیری خیلی زیاد مطابقت دارد.

## منابع

امیرنژاد، ر. و فرهادی، ا. ۱۳۹۵. بررسی تأثیر فلزات سنگین پساب تصفیه‌خانه شهرک صنعتی توس مشهد بر آب‌های زیرزمینی. *علوم و مهندسی محیط زیست*. ۳(۱۰): ۷۷-۸۸.

رحیمی، م.، رضا وردی نژاد، و.، بهمنش، ج. و اسدزاده، ف. ۱۴۰۲. ر.

- of The Total Environment. 807: 151399.
- Liang, J., Li, Z., Yang, Q., Lei, X., Kang, A. and Li, S. 2019. Specific vulnerability assessment of nitrate in shallow groundwater with an improved DRSTIC-LE model. Ecotoxicology and Environmental Safety. 174: 649-657.
- Machiwal, D., Islam, A. and Kamble, T. 2019. Trends and probabilistic stability index for evaluating groundwater quality: The case of quaternary alluvial and quartzite aquifer system of India. Journal of Environmental Management. 237: 457-475.
- Machiwal, D. and Jha, M. K. 2015. Identifying sources of groundwater contamination in a hard-rock aquifer system using multivariate statistical analyses and GIS-based geostatistical modeling techniques. Journal of Hydrology: Regional Studies. 4: 80-110.
- Mirboluki, A., Mehraein, M., Kisi, O., Kuriqi, A. and Barati, R. 2024. Groundwater level estimation using improved deep learning and soft computing methods. Earth Science Informatics. 17: 2587-2608.
- Moraru, C. and Hannigan, R. 2018. Analysis of Hydrogeochemical Vulnerability, Springer.
- Neshat, A., Pradhan, B., Pirasteh, S. and Shafri, H. Z. M. 2013. Estimating groundwater vulnerability to pollution using a modified DRASTIC model in the Kerman agricultural area, Iran. Environmental Earth Sciences. 71: 3119-3131.
- Piscopo, G., Pleasure, P. and Sinclair, P. 2001. Groundwater vulnerability map explanatory notes, Lachlan Catchment, Centre of Natural Resources. New South Wales (NSW) Department of Land and Water Conservation. 14.
- Rahman, A. 2008. A GIS based DRASTIC model for assessing groundwater vulnerability in shallow aquifer in Aligarh, India. Applied geography. 28: 32-53.
- Rahman, M., Haque, M. M. and Tareq, S. M. 2021. Appraisal of groundwater vulnerability in south-central part of Bangladesh using DRASTIC model: An approach towards groundwater protection and health safety. Environmental Challenges. 5: 100391.
- Safa, G., Najiba, C., El Houda, B. N., Monji, H., Soumaya, A. and Kamel, Z. 2020. Assessment of urban groundwater vulnerability in arid areas: Case of Sidi Bouzid aquifer (central Tunisia). Journal of African Earth Sciences. 168: 103849.
- Sarkar, M. and Pal, S. C. 2021. Application of DRASTIC and Modified DRASTIC Models for Modeling Groundwater Vulnerability of Malda District in West Bengal. Journal of the Indian Society of Remote Sensing. 49: 1201-1219.
- Sheikhi, S., Faraji, Z. and Aslani, H. 2021. Arsenic health risk assessment and the evaluation of groundwater quality using GWQI and multivariate quality index and investigation of the affecting factors their changes in Shiraz drinking groundwater, Iran. Groundwater for Sustainable Development. 11: 100435.
- Bera, A., Mukhopadhyay, B. P., Chowdhury, P., Ghosh, A. and Biswas, S. 2021. Groundwater vulnerability assessment using GIS-based DRASTIC model in Nangasai River Basin, India with special emphasis on agricultural contamination. Ecotoxicology and Environmental Safety. 214: 112085.
- Bhavasar, Z. and Patel, J. 2023. Assessing potability of groundwater using groundwater quality index (GWQI), entropy weighted groundwater pollution index (EGPI) and geospatial analysis for khambhat coastal region of Gujarat. Groundwater for Sustainable Development. 21: 100916.
- Chaudhary, J. and Singh, K. 2023. Use of water quality index and DRASTIC index correlation for better assessment of groundwater vulnerability to pollution: a case study. Water Supply. 23: 4759-4774.
- Dandge, K. and Patil, S. 2022. Spatial distribution of ground water quality index using remote sensing and GIS techniques. Applied Water Science. 12: 7.
- Elzain, H. E., Chung, S. Y., Venkatraman, S., Selvam, S., Ahemd, H. A., Seo, Y. K., Bhuyan, M. S. and Yassin, M. A. 2023. Novel machine learning algorithms to predict the groundwater vulnerability index to nitrate pollution at two levels of modeling. Chemosphere. 314: 137671.
- Ghosh, A. and Bera, B. 2023. Hydrogeochemical assessment of groundwater quality for drinking and irrigation applying groundwater quality index (GWQI) and irrigation water quality index (IWQI). Groundwater for Sustainable Development. 22: 100958.
- Hamza, S. M., Ahsan, A., Imteaz, M. A., Rahman, A., Mohammad, T. A. and Ghazali, A. H. 2014. Accomplishment and subjectivity of GIS-based DRASTIC groundwater vulnerability assessment method: a review. Environmental Earth Sciences. 73: 3063-3076.
- Karra, K., Kontgis, C., Statman-Weil, Z., Mazzariello, J. C., Mathis, M. and Brumby, S. P. 2021. Global land use/land cover with Sentinel 2 and deep learning. 2021 IEEE international geoscience and remote sensing symposium IGARSS. IEEE: 4704-4707.
- Konikov, E. and Likhodedova, O. 2011. Global climate change and sea-level fluctuations in the Black and Caspian Seas over the past 200 years. Geology and geoarchaeology of the black sea region: beyond the flood hypothesis. 473: 59.
- Kwon, E., Park, J., Park, W.-B., Kang, B.-R., Hyeon, B.-S. and Woo, N. C. 2022. Nitrate vulnerability of groundwater in Jeju Volcanic Island, Korea. Science

- Umar, R., Ahmed, I. and Alam, F. 2009. Mapping groundwater vulnerable zones using modified DRASTIC approach of an alluvial aquifer in parts of Central Ganga Plain, Western Uttar Pradesh. *Journal of the Geological Society of India.* 73: 193-201.
- Vosoogh, A., Baghvand, A., Karbassi, A. and Nasrabadi, T. 2017. Landfill Site Selection Using Pollution Potential Zoning of Aquifers by Modified DRASTIC Method: Case Study in Northeast Iran. *Iranian Journal of Science and Technology, Transactions of Civil Engineering.* 41: 229-239.
- Wu, H., Chen, J., Qian, H. and Zhang, X. 2015. Chemical characteristics and quality assessment of groundwater of exploited aquifers in Beijiao water source of Yinchuan, China: a case study for drinking, irrigation, and industrial purposes. *Journal of Chemistry.* 2015(1), p.726340.
- statistical analysis in rural areas, Hashtroud, Iran. *Environmental Science and Pollution Research.* 28: 3617-3631.
- Smedley, P. L. and Kinniburgh, D. G. 2002. A review of the source, behaviour and distribution of arsenic in natural waters. *Applied geochemistry.* 17: 517-568.
- Taghavi, N., Niven, R. K., Kramer, M. and Paull, D. J. 2023. Comparison of DRASTIC and DRASTICL groundwater vulnerability assessments of the Burdekin Basin, Queensland, Australia. *Science of The Total Environment.* 858: 159945.
- Taghavi, N., Niven, R. K., Paull, D. J. and Kramer, M. 2022. Groundwater vulnerability assessment: A review including new statistical and hybrid methods. *Science of The Total Environment.* 822: 153486.

## Assessment of the Mashhad-Chenaran Aquifer in Terms of Quality and Vulnerability Using DRASTIC and Groundwater Quality Index

S.M. Alavizadeh<sup>1</sup>, H. Banejad<sup>2\*</sup>, A. A. Beheshti<sup>3</sup>

Received: Dec.17, 2024

Accepted: Feb.02, 2025

### Abstract

Identifying areas with low water quality in addition to vulnerable zones is essential for developing optimal plans to protect groundwater resources and control human activities in these regions. This study examines the water quality as well as vulnerability of the Mashhad-Chenaran aquifer using the DRASTIC model and the Groundwater Quality Index (GWQI). Water quality data from 35 wells in 2021 and 123 wells in 2001 were analyzed. The DRASTIC model includes weighting and ranking of seven variables: aquifer depth, net recharge, aquifer media, soil media, slope, impact of vadose zone, and hydraulic conductivity. Additionally, a modified DRASTIC model incorporating land use was also evaluated. According to the results, the central parts of the aquifer, including areas of Mashhad city and the northern parts of it, exhibit very high vulnerability classes, covering about 15% of the study area, where industrial zones are located. In both models, the high vulnerability class occupies the largest area, accounting for approximately 70% of the study region. Based on the Groundwater Quality Index, water quality declined in 2021 compared to 2001, with most samples classified as poor for drinking purposes. The southern parts of the study area (aquifer discharge) and the northern regions exhibit poorer water quality compared to other areas.

**Keywords:** Aquifer pollution, Groundwater, Mashhad-Chenaran aquifer, Vulnerability, Water quality index

1- M.Sc. graduate student, Department of Water Science and Engineering, Faculty of Agriculture, Ferdowsi University of Mashhad, Mashhad, Iran

2- Associate Professor, Department of Water Science and Engineering, Faculty of Agriculture, Ferdowsi University of Mashhad, Mashhad, Iran

3- Associate Professor, Department of Water Science and Engineering, Faculty of Agriculture, Ferdowsi University of Mashhad, Mashhad, Iran

(\*- Corresponding Author Email: hbanejad@gmail.com)